

北海道大学工学部 正員 ○ 桜倉 忠興
 北海道大学工学部 正員 岸 力
 大島工務所(株) 正員 篠田 美樹

緒言 著者らは第30・31回年次講演会において Monin-Obukhov length を取入れた解析方法によつて浮遊砂流の特性を統一的に算出する手法を提案した。本文はその後の解析結果を述べたものである。完全浮遊流については実験結果を用ひて浮遊の限界に対する検討を行なつて Hux-Richardson 数で良く表現できることを見出し、その結果を管路における解析と比較して検証した。又、浮遊限界最大粒径については実際河川の資料をも含めて、井上の解析及び Kresser・浅田式の検討を行なつた。河床に堆積のある浮遊砂流については、河床砂の輸送量に対する Lane-Kalinske 及び岸モデルを参考にした基準点濃度算定式を導いた。これにより浮遊砂量を算定して実測値と良い一致する結果を得た。

1. 浮遊砂流における浮遊限界

砂粒子を浮遊した流れにおいて次第にその濃度を増加させてゆくと、やがて水流は給砂量のすべてを浮遊せることができるくなり、河床に堆積が始まる。浮遊砂流のエネルギー方程式¹⁾において、乱れエネルギーの発生量と砂粒子を浮遊させるためのエネルギーの比を用ひて(1)式の Hux-Richardson 数を定義する。(h:水深, W_0 :沈降速度)

$$R_f = \frac{h}{L} \left(1 + \alpha \frac{h}{L}\right)^{-1}, \quad \frac{1}{L} = \frac{K g (\mu - 1) W_0 C}{U_0^3} \quad (1)$$

(1)式により実測値の検討を行なつた結果が図-1 である。浮遊限界として(2)式を得た。

$$R_{fc} = 0.02 \quad (2)$$

管路の流れにおいて本開水路とは異なり境界条件が簡単なことから、比較的整った関係が整つて得られていく。管路における砂輸送パラメーターの定義は損失水頭を基に

$$\varphi = \frac{\left(\frac{\partial h}{\partial L}\right)_m - \left(\frac{\partial h}{\partial L}\right)_e}{C \left(\frac{\partial h}{\partial L}\right)_e} = \frac{\left(\frac{\partial h}{\partial L}\right)_s}{C \left(\frac{\partial h}{\partial L}\right)_e} \quad (3)$$

Durand²⁾によれば $\mu = 2.65$ の土砂に対して

$$\varphi = 180 \left[\frac{T^2}{gD} \sqrt{\frac{gd}{W_0^2}} \right]^{-\frac{3}{2}} \quad (4)$$

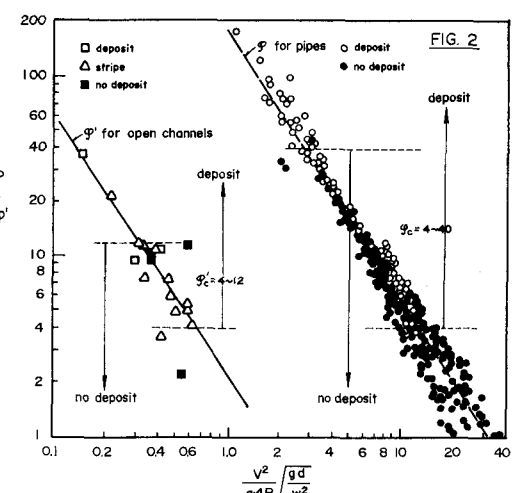
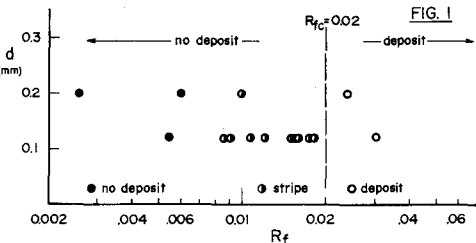
(4)式は異方性流から掃流砂流までの広い範囲に対して実測値を良く説明している。(D:管全, T:平均流速)

(3)式と同様のパラメーターを著者らの方法により開水路浮遊砂流に對して定義を行なうと

$$\varphi' = \frac{1}{KC} \frac{U_0}{V} \frac{R_f}{1 - \alpha R_f} \quad (5)$$

浮遊限界は(2)式を代入して $\varphi'_c = \frac{0.058}{C} \frac{U_0}{V}$ $\quad (6)$

図-2 は以上の関係を示したものであり、完全浮遊流と堆積流との境界は管路では $\varphi_c = 4 \sim 40$ 、開水路では、 $\varphi'_c = 4 \sim 12$ と同程度の値となつてゐる。図-3 は Kresser・浅田³⁾の関係を示したものである。広い範囲の資



料に付し平均的には合致しているが個々の値についてはちらばりが大きい。

2. 基準点濃度(河床に堆積がある場合)

基準点濃度式は順次改善されきておりまだ充分とは言ひ難い。著者らは Lane-Kalinke, 岸⁴⁾のモデルに準じ Yalin の漂流研理論を参考にして粒子の鉛直方向の浮上速度を改良し、新たに基準点濃度式を導いた。

河床より浮上する粒子(粒径 d)の鉛直方向の速度を V_s とし、河床粒子との粒子交換に要する特性時間を(7)式で假定すれば、単位面積単位時間当たり河床から浮上する体積 q_{sw} は(8)式となる。

$$t_2 = \frac{k_2 d}{V_s} \quad (7), \quad q_{sw} = \frac{\pi d^3}{6} \frac{k_1}{\frac{1}{4} d^2} \frac{1}{k_2 d} = K V_s \quad (8)$$

粒子が離脱する際の初速度を V_0 とすれば $V_0 = V_s - k_2 V_s$ 。

粒子に対する力積分方程式は、重力を G 、変動する揚力は F で $(F-G)t_2 = (P_s - P) \frac{1}{6} \pi d^3 V_0$ (9)

(9)式において、 $F = q_{sw} \frac{1}{6} \pi d^3 U_s^2$, $G = (P_s - P) g \frac{\pi}{6} d^3$ として F を平均値と変動成分とに分けて

$$V_0 = F_t + \frac{(P_s - P)}{q_{sw}} \frac{1}{6} \left(\frac{F}{G} - 1 \right), \quad \frac{F}{G} = \frac{F_t}{F} \cdot \frac{F}{G} = r \cdot \frac{q_{sw}}{\frac{\pi}{6} d^3} \quad (10)$$

粒子の離脱条件は $F > G$ 。 F の変動成分の確率密度関数は正規分布とし、平均値がこれに等しいと假定すれば

$$r = 1 + r' = \frac{F}{F_t} = \frac{G}{\bar{F}} = \frac{\frac{\pi}{6}}{\frac{q_{sw}}{6} d^3} = a \quad (11)$$

$$\left[\frac{F}{G} \right]_{F > G} = \frac{1}{a} \frac{q_{sw}}{6} \int_{a-1}^{\infty} \frac{1}{\sqrt{2\pi}} \exp\left(-\frac{r'^2}{2a^2}\right) dr' \quad (12)$$

一方、単位面積単位時間当たりに河床に沈降する体積は $q_{sd} = w_0 C_b$ (13)

以上より基準点濃度 C_b は、定数に Yalin⁵⁾ の修正値を用いて

$$C_b = K \left[F_t (r - 1) q \frac{1}{w_0} - 1 \right], \quad r = \left[\frac{\pi}{0.133} \int_{0.167 \frac{1}{w_0} - 1.256}^{\infty} \frac{1}{\sqrt{2\pi}} \exp(-z^2) dz \right] - 1 \quad (14)$$

実測値との比較から $Q_t = 0.7$, $K = 3 \times 10^{-3}$ として結果は図-4 のようである。即ち、(14)式によれば w_0/V_0 が減少するに連れて急激に浮遊質量が増大する事実が良く説明されており、濃度分布の計算の一例を図-5 に示す。

ところで(13)式における r' の平均値を表すと(14)式の r に相当する \bar{r}' は(14)式となるが、 r と \bar{r}' の特性は殆ど一致する。二の二のが特徴は漂遊限界附近に r にて前述の後定は準拠であると言えられた。

$$\bar{r}' = \left[\frac{\pi}{0.133} \int_{0.167 \frac{1}{w_0} - 1.256}^{\infty} \frac{1}{\sqrt{2\pi}} z^2 \exp(-z^2) dz \right] / \left[\int_{0.167 \frac{1}{w_0} - 1.256}^{\infty} \frac{1}{\sqrt{2\pi}} \exp(-z^2) dz \right] - 1 \quad (15)$$

本研究には当時の本学部学生村上善夫君の協力を得、文部省科学研究費の援助を受けた。深く謝意を表します。
参考文献

- 1) 松倉・岸・中山・篠田: 第30・31回年次講演会, 1975, 1976.
- 2) Durand: Proceedings 5th IAHR, Minneapolis, 1953.
- 3) 我田: 北海道大学学位論文, 1975.
- 4) 岸・横・山崎: 第20回年次講演会, 1965.
- 5) Yalin: Book, Pergamon Press, 1972.
- 6) 井上: 流通学会誌, 第1巻, 第1号, 1949.

